

АКУСТОЕЛЕКТРОННІ СЕНСОРИ

ACOUSTOELECTRONIC SENSORS

УДК 621.315.592.2, 534.27

АКУСТОЧУТЛИВИЙ СЕНСОР НА ОСНОВІ НАПІВПРОВІДНИКОВОГО ДАТЧИКА ХОЛЛА (За матеріалами доповіді на конференції СЕМСТ-2)

M. D. Тимочко, Я. М. Оліх

Інститут фізики напівпровідників ім. В.Є. Лашкарьова НАН України,
пр. Науки 41, Київ, Україна, 03028, тел. (044) 525-62-56,
e-mail: tymochko@ukr.net / jaroluk3@ukr.net

Анотація

АКУСТОЧУТЛИВИЙ СЕНСОР НА ОСНОВІ НАПІВПРОВІДНИКОВОГО ДАТЧИКА ХОЛЛА

M. D. Тимочко, Я. М. Оліх

В роботі вперше запропонована можливість значного підвищення чутливості напівпровідникового давача Холла (ДХ) за допомогою ультразвукових (УЗ) хвиль; принцип динамічного керування ДХ зумовлений ефектом акустостимульованого зсуву температури інверсії, величина якого визначається інтенсивністю УЗ хвилі. Такий ДХ є сенсором акустичного поля.

Ключові слова: давач Холла, ультразвукові хвилі, інверсія коефіцієнта Холла.

Abstract

ACOUSTOSENSITIVITY SENSOR BASED ON SEMICONDUCTOR HALL SENSOR

M. D. Tymochko, Ya. M. Olikh

In first there is offered a possibility of considerable rise of sensitivity of semiconductor Hall sensor (HS) by means of ultrasonic (US) waves; the principle of dynamic control of HS by the effect of acoustostimulated change of inversion temperature, the magnitude of the change is determined by US wave intensity. Such HS is a sensor of the acoustic field.

Keywords: Hall sensor, ultrasonic waves, Hall coefficient inversion

Аннотация**АКУСТОЧУСТИВЕЛЬНЫЙ СЕНСОР НА БАЗЕ ПОЛУПРОВОДНИКОВОГО ДАТЧИКА ХОЛЛА*****Н. Д. Тимочко, Я. М. Оліх***

В работе впервые предложена возможность значительного увеличения чувствительности полупроводникового датчика Холла (ДХ) с помощью ультразвуковых (УЗ) волн; принцип динамического управления ДХ обусловлен эффектом акустостимулированного сдвига температуры инверсии, величина которого определяется интенсивностью УЗ волны. Такой ДХ является сенсором акустического поля.

Ключевые слова: датчик Холла, ультразвуковые волны, инверсия коэффициента Холла

Ефект Холла, відкритий Едвіном Холлом в 1879 році, знайшов практичне застосування у 1968 році в якості твердотільних давачів Холла (ДХ). ДХ працює на ефекті виникнення холлівської ЕРС при розміщенні напівпровідникової пластинки зі струмом у поперечному магнітному полі і використовується в дуже багатьох вимірювальних пристроях та схемах автоматики. Наприклад, в магнетометрах — для вимірювання напруженості постійних і змінних магнітних полів; струмомірах — для вимірювання величин струмів в електричних кабелях; ватметрах; перетворювачах постійного струму в змінний; генераторах електричних коливань і т.д. Перевагами даних приладів є їх безінерційність, відсутність рухомих частин і малі габарити, а також стійкість проти дії світла, димової та електромагнітної взаємодії і висока конкурентна спроможність, викликана низькою собівартістю та масовим виробництвом. До недоліків слід віднести їх чутливість до температури, тиску та хімічного складу повітря [1].

Нетрадиційне використання ДХ для діагностики акустичного поля, яке пропонується в даній роботі, може розширити їх практичне застосування в сучасній техніці. Чутливість ДХ до ультразвуку (УЗ) досягається вибором напівпровідника зі змішаним типом провідності $\sigma_{n,p}$, причому: а) температура інверсії $\sigma_{n,p}$ матеріалу T_{in} повинна попадати в температурний діапазон роботи ДХ; б) при введенні в зразок УЗ хвилі змінюється $\sigma_{n,p}$. При наближенні робочої температури ДХ T_w до T_{in} в результаті значної крутизни залежності холлівської напруги U_H від температури T і/або магнітного поля B при T_{in} реалізується надзвичайно висока чутливість U_H до змін B і T . Оскільки $U_H = (jB/d)R_H = cR_H$ (тут $c=jB/d$ — конструктивний параметр, j — густина струму в колі ДХ, d — товщина пластинки напівпровідника), то чутливість ДХ до темпе-

ратури $S_T = \partial U_H / \partial T$ визначається залежністю $R_H(T)$. В свою чергу, $R_H(T)$ в області змішаної провідності визначається формулою:

$$R_H = -\frac{r_H (\mu_n^2 n - \mu_p^2 p)}{e(\mu_n n + \mu_p p)^2}, \quad (1)$$

де n і p — концентрація електронів та дірок; $b = \mu_n / \mu_p$ — співвідношення їх рухливостей. Інверсія знаку U_H відбувається при $R_H = 0$, а згідно (1) це відповідає умові $p = nb^2$. При наближенні T_w до T_{in} для даного напівпровідникового матеріалу, як з боку високих температур, так і зі сторони низьких, зростає крутизна $R_H(T)$, а значить і S_T . Отже, U_H в околі T_{in} чутлива до найменших змін електрофізичних параметрів напівпровідника. При УЗ дії, коли відбувається акустостимулювання (АС) зсув T_{in} , можна за допомогою УЗ керувати T_w , наближаючи її до T_{in} і досягати при цьому значного зростання ($\partial R_H / \partial T$) — в десятки і в сотні разів. Величина АС зсуву ΔT_{in} буде залежати від інтенсивності УЗ (W_{US}) і визначатиметься співвідношенням концентрацій (n і p) та рухливостей (μ_n і μ_p) носіїв різних знаків та їх перерозподілом при УЗ дії. Тому такі прилади володіють надзвичайно високою сприйнятливістю до впливу зовнішніх факторів, зокрема до УЗ, і представляють значний науковий та практичний інтерес.

На рис. 1 приведена блок-схема установки для вимірювання характеристик модифікованого акусточутливого ДХ. Основними елементами такого ДХ є напівпровідникова пластина, яка через акустичні зв'язки і акустичний буфер пов'язана з п'єзоперетворювачем. Акусточутливий ДХ поміщають в постійне магнітне поле (в нашому випадку $B=0,45$ Тл). Додатково необхідні джерело постійного струму, ВЧ-генератор і вольтметри — для контролю за температурою, струмом та U_H .

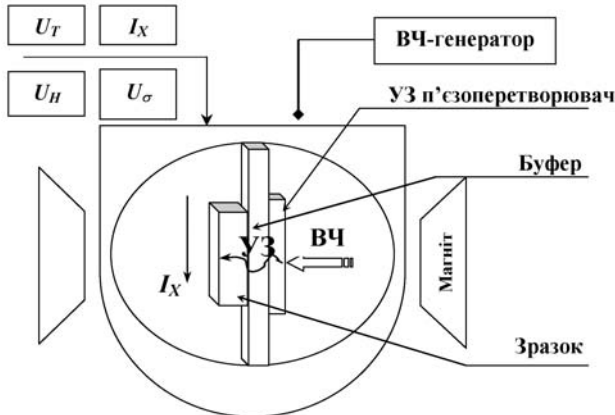


Рис. 1. Блок-схема установки для вимірювання характеристик модифікованого акусточутливого датчика Холла.

Базовими матеріалами для модифікованого акусточутливого сенсора можуть бути будь-які об'ємні чи плівкові структури, для яких характерна T_{in} . Вперше ефект УЗ зсуву T_{in} спостерігався у нейтронно-опромінених зразках бездислокаційного кристала Ge, в якому відбувалася акустостимулювана інверсія провідності від домішкової р-типу до власної [2]. Було показано, що величина та знак ефекту визначаються станом системи дефектів кристала в залежності від умов вирощування, зберігання, проведених опромінень та стадій відпалу; зроблено припущення, що механізм УЗ впливу визначається зміною ефективності розсіяння носіїв струму та зміщенням рівня Фермі. На рис. 2 приведено температурні залежності $R_H(T)$ як у відсутності УЗ (криві 1), так і при УЗ дії (криві 2). Відзначимо, що в залежності від стану дефектів в кристалі, який визначається температурою та стадією відпалу зразку T_{an} , спостерігається АС зсув T_{in} як в область низьких (a), так і в область високих температур (б), відповідно. А саме, у випадку $T_{an}=210^\circ\text{C}$ — зсув відбувається в сторону низьких температур (a), а у випадку $T_{an}=360^\circ\text{C}$ — у бік високих температур (б). Експериментально встановлено, що динамічний (під час УЗ дії) зсув T_{in} відбувається майже за лінійним законом, $\Delta T_{in} = k \cdot \Delta W_{US}$. Для Ge $k \approx 4 (\text{K} \cdot \text{см}^2)/\text{Вт}$. При $\Delta W_{US} = 2 \text{ Вт} \cdot \text{см}^{-2}$ величина зсуву $\Delta T_{in} = 8 \text{ K}$. Пізніше подібні ефекти спостерігалися на зразках $\text{Cd}_x \text{Mn}_y \text{Hg}_{1-x-y} \text{Te}$ [3], а також на γ -опромінених зразках Si [4]. У випадку монокристалічних зразків вузькощілинних твердих розчинів CdMnHgTe при УЗ дії ($f_{US} = 5 - 17 \text{ МГц}$, $W_{US} \leq 1 \text{ Вт} \cdot \text{см}^{-2}$) спостерігався значно більший, ніж у Ge, зсув ΔT_{in} — на $30 - 50^\circ\text{C}$

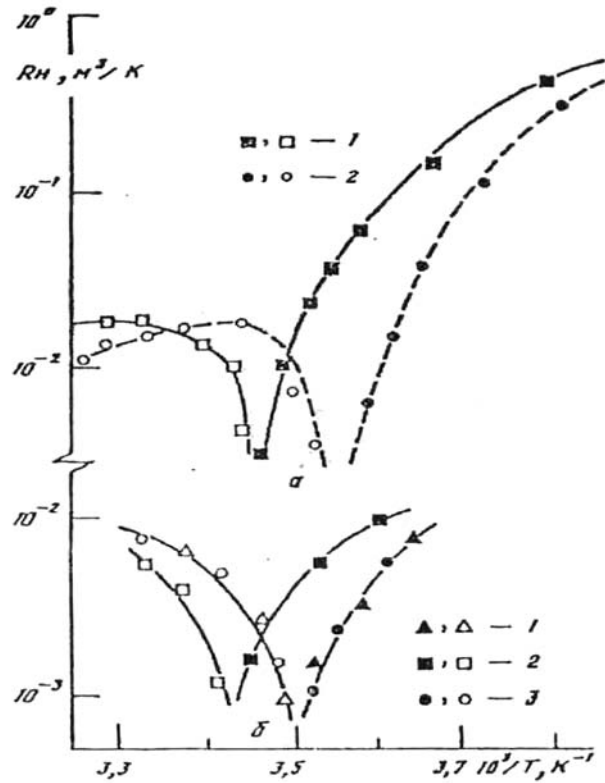


Рис. 2. Температурні залежності коефіцієнта Холла $R_H(T)$ в нейтронно-опромінених кристалах Ge без УЗ (крива 1) та з УЗ ($f=7 \text{ МГц}$, $W_{US}=2 \text{ Вт}/\text{см}^2$) (2): а) зсув T_{in} в область низьких температур; б) зсув T_{in} в область високих температур. Світлі точки відповідають n -типу провідності, а темні — p -типу.

($k \approx 25 (\text{K} \cdot \text{см}^2)/\text{Вт}$), і теж, в залежності від стану дефектної системи кристала, як в бік низьких, так і високих температур. На рис. 3 представлена АС зміни температурних залежностей R_H в зразках CdMnHgTe з різним типом дефектної структури та зсув T_{in} при УЗ дії. У випадках (a) та (б) вимірювались $R_H(T)$ у відсутності УЗ навантаження, але вже на зразках які спеціально оброблялися в УЗ полі (криві 1 — до, а криві 2-4 — після УЗ обробок). Вплив УЗ призвів до зсуву T_{in} у сторону високих температур і такі зміни були незворотними. З рис. 3а видно, що при підвищенні інтенсивності W_{US} після подальших етапів УЗ обробки зсувався максимум залежності $R_H(T)$ і збільшується її крутизна та спостерігається поступове наближення до інверсії; для іншого зразка безпосередньо спостерігається зсув T_{in} (рис. 3б). У випадку рис. 3в вимірювались $R_H(T)$ при УЗ навантаженні (тобто в процесі дії УЗ — *in-situ*); АС зміни є зворотними і при виключенні УЗ швидко релаксують до вихідних значень, але зсув T_{in} відбувається вже в сторону низьких температур. Тип провіднос-

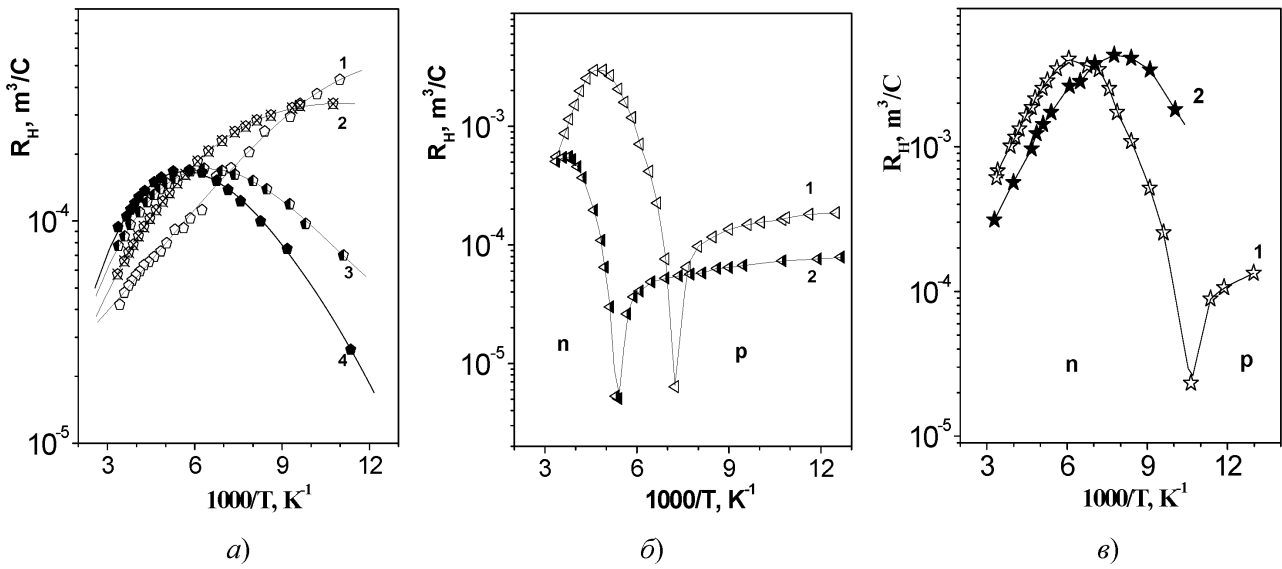


Рис. 3. $R_H(T)$ в кристалах твердих розчинів $\text{Cd}_{0.12}\text{Mn}_{0.02}\text{Hg}_{0.86}\text{Te}$: а) криві 1 — без УЗ, 2 — при УЗ обробці, $W_{US}=0,1 \text{ Вт}/\text{см}^2$, 3 — $W_{US}=0,5 \text{ Вт}/\text{см}^2$, 4 — $W_{US}=1 \text{ Вт}/\text{см}^2$; б) 1 — без УЗ, 2- при УЗ обробці, $W_{US}=0,5 \text{ Вт}/\text{см}^2$; в) 1 — без УЗ, 2 — при УЗ навантаженні, $W_{US}=0,5 \text{ Вт}/\text{см}^2$.

ті, а відповідно і T_{in} , для даних матеріалів визначаються вихідною концентрацією легуючої домішки і структурою електрично-активних власних дефектів кристалічної гратки. Механізм впливу УЗ обробки на властивості кристалів CdMnHgTe , як і на CdHgTe , пов’язаний з взаємодією УЗ хвилі з дислокаціями кристалу. В результаті інтенсивного коливання дислокацій відбувається УЗ інтенсифікація дифузійних процесів внутрішнього легування об’єму матеріалу надлишковими атомами ртуті, зв’язаними на дислокаціях, а також — перерозподіл вихідних (власних) точкових дефектів [3]. Важливо нагадати, що ці процеси відбуваються лише локально, в околі самих дислокацій. Дійсно, вимірювання R_H (зі зміною T або W_{US}) при УЗ навантаженні проводяться при відносно низьких температурах і протягом короткого часу. Тобто, величина коефіцієнта дифузії атомів Hg низька і при АС генерації пари (міжзвузловинний атом Hg — вакансія Hg) її компоненти на час дії УЗ залишаються на близькій відстані; а після вимкнення УЗ відбувається їх рекомбінація і за короткий час характеристики зразка повертаються до попереднього стану. Таким чином, УЗ дія в кристалах CdMnHgTe приводить до зсуву T_{in} , як у бік низьких, так і високих температур, і дозволяє отримати зміни як зворотні, так і незворотні, що відкриває широке поле застосування таких акусточутливих сенсорів. Оскільки існує певна аналогія між ефектами УЗ впливу та радіаційного (γ - та нейтронного) опромінення,

то подібний ДХ на основі CdMnHgTe можна також використовувати і для діагностики радіаційних полів.

В кристалах кремнію теж спостерігалася конверсія типу провідності при УЗ навантаженні. Кристали Si, які використовувались для досліджень, спочатку були нейтронно-опромінені, а потім відпалені при 330°C . Слід зазначити, що в процесі радіаційного опромінення, утворюється цілий спектр радіаційних дефектів (дівакансії, A- та E-центр, та інші метастабільні й бістабільні комплекси). Традиційною операцією відновлення електрофізичних характеристик напівпровідникового матеріалу, який містить термодинамічно нерівноважні дефекти (в тому числі і радіаційної природи), є термообробка. Але операція відпалу має також і недоліки, наприклад, утворення термодефектів. Дійсно, багато дефектів кристалу в умовах їх діагностики можуть знаходитись у зв’язаному стані (наприклад на дислокаціях, комплексах і т.д.) і бути електрично- і фотоелектрично неактивними. Застосування УЗ навантаження в процесі різноманітних фізичних досліджень суттєво розширює методичні можливості діагностики напівпровідниківих матеріалів і приладів на їх основі. Як видно із рис.4, УЗ дія спочатку призводить до деякої немонотонної зміни $R_H(T)$, а зі збільшенням W_{US} і до конверсії типу провідності в певному температурному діапазоні. У той же час, у вихідних кристалах, а також у невідпалених нейтронно-опромінених

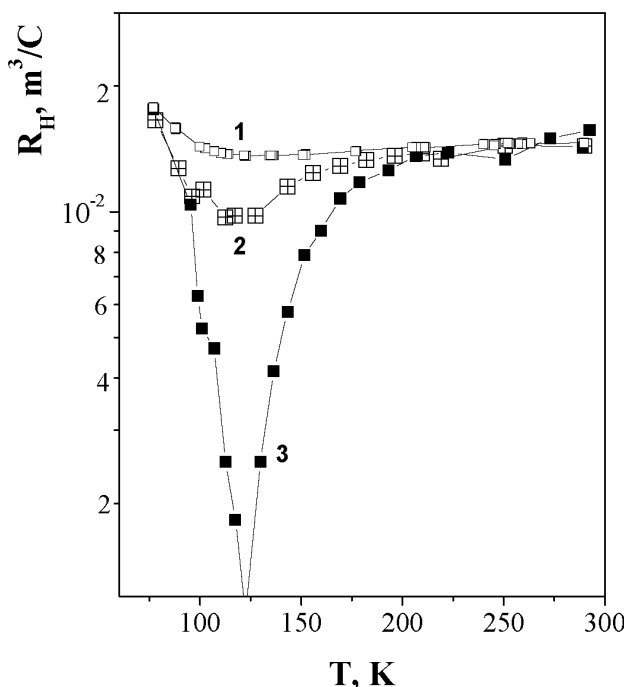


Рис. 4. $R_H(T)$ в нейтронно-опроміненому та відпаленому при 330°C Si при УЗ навантаженні: 1 — вихідний зразок, без УЗ; 2 — при УЗ навантаженні, $W \leq 0,5 \text{ Вт}\cdot\text{см}^{-2}$; 3 — при УЗ навантаженні, $W > 1 \text{ Вт}\cdot\text{см}^{-2}$.

зразках, АС зміни електрофізичних характеристик не спостерігалися. Тобто, появу конверсії типу провідності у відпалених радіаційно-опромінених кристалах можна пояснити АС активацією електрично-неактивних дефектів, які перебували в зв'язаному стані на складних комплексах радіаційних дефектів. УЗ зсув T_{in} в бездислокаційних кристалах визначається АС змінами рухливості та концентрації носіїв струму відповідно. Фізичними причинами таких змін є динамічні (миттєві — під час дії УЗ) АС реакції асоціації-дисоціації електрично-активних дефектів, що супроводжуються процесами захоплення (звільнення) електронів.

Для порівняльної оцінки ефективності сенсорів на основі розглянутих вище матеріалів (Ge і CdMnHgTe) визначимо їхню чутливість до УЗ дії S_{us} , взявши частинну похідну по W_{us} :

$$S_{us} = \frac{\partial U_H}{\partial W_{us}} = c (\frac{\partial R_H}{\partial T}) (\frac{\partial T}{\partial W_{us}}). \quad (2)$$

Враховуючи, що $c (\frac{\partial R_H}{\partial T}) = S_T$, а при температурах близьких до T_{in} другий множник $(\frac{\partial T}{\partial W_{us}})$ можна замінити на $(\frac{\partial T_{in}}{\partial W_{us}})$, — отримаємо:

$$S_{us} = S_T (\frac{\partial T_{in}}{\partial W_{us}}). \quad (3)$$

В лінійному наближенні $(\frac{\partial T_{in}}{\partial W_{us}}) = k$ (рис. 5) і $S_{us} = k \cdot S_T$. На рис. 5 приведені експериментальні зміни T_{in} в залежності від W_{us} для зразків Ge і CdMnHgTe (криві 1 і 2, відповідно). Видно, що крутизна характеристики $\frac{\partial T_{in}}{\partial W_{us}}$ для кристалів CdMnHgTe значно (в ~5 разів) більша ніж для кристалів Ge (крива 1), що вказує на вищу чутливість CdMnHgTe до дії УЗ. Зауважимо, що в такому наближенні із експериментальних залежностей $\Delta U_H(W_{us})$ можна визначати амплітуду УЗ безпосередньо в процесі електрофізичних вимірювань.

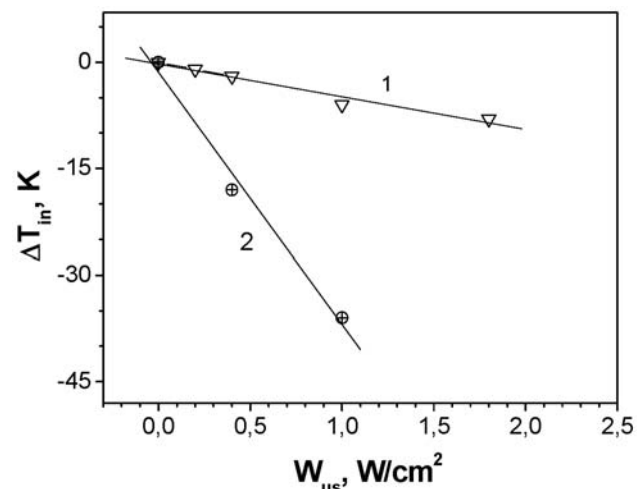


Рис. 5. Експериментальні зміни T_{in} в залежності від W_{us} для зразків Ge і $\text{Cd}_{0,12}\text{Mn}_{0,02}\text{Hg}_{0,86}\text{Te}$ (криві 1 і 2, відповідно).

Таким чином, висока чутливість акустично-го сенсора може бути реалізована при температурах максимально близьких до T_{in} на основі “гіганської” крутизни характеристики $R_H(T)$ в області інверсії навіть при низькій інтенсивності УЗ дії. Певними перевагами даного датчика є можливість широкого вибору як об'ємних, так і плівкових напівпровідникових матеріалів, які характеризуються змішаною провідністю та наявністю T_{in} .

Робота виконувалася при частковій фінансовій підтримці УНТЦ, проект №3643.

Література

- Фистуль В.І. Введені в фізику полупроводників. — М.: Висш. школа, 1975. — 296 с.
- Оліх Я.М., Савкіна Р.К. Акустостимулюваний зсув температури інверсії знака коеф.Холла у РЛ кристалах Ge // УФЖ. — 1997. — Т.42. — № 11-12. — С. 1385-1389.
- Оліх Я.М., Остапов С.Е., Тимочко М.Д. Вплив

ультразвукової обробки на електрофізичні властивості монокристалів CdMnHgTe // УФЖ. — 2005. — Т.50. — № 10. — С. 1145-1151.
4. Оліх Я.М., Тимочко Н.Д., Долголенко А.П.

Акустостимулированное преобразование радиационных дефектов в γ -облученных кристаллах кремния n-типа // ПЖТФ. — 2006. — Т.32. — Вып.13. — С. 67-73.